

河川底泥の浮遊特性に関する一考察

大阪大学工学部 正員 村岡浩爾

序 都市河川底泥の流送は水質汚染、汚泥堆積等に影響及ぼすが、その流送特性は不明瞭である。筆者が二年実際の汚泥を用いた水路実験および寝屋川現地観測で得た資料のうち浮遊泥に関するものについて河川漂砂との比較のもとで若干の考察を加えた。

1. 底泥の特性 神崎川(一部寝屋川)

の上流から下流にかけて採取した底泥層の上部 20~30 cm の浅層部の汚泥と、これと室内洗浄槽で泥水洗浄させた表層部(約 2 cm 厚)の汚泥と共に H_2O_2 处理して得た粒径分布を図-1 に示す。表層部についてはシルト質が主体をなし、その平均粒径は $d_m = 0.010 \sim 0.039 \text{ mm}$, H_2O_2 处理比重 2.64~2.72, 同未処理比重 2.52~2.68, 強熱減量 11.1~20.5%, 处理泥の平均粒径に対する沈降速度 $w_g = 0.006 \sim 0.108 \text{ cm/sec}$ である。

2. 底泥の流送限界 採取汚泥を実験水路(長さ 17 m, 幅 30 cm, 水深約 15 cm)の一区間(1.5 m)で泥水として混合し沈降堆積させた状態をもって実河川の底泥を再現したものとする。ある堆積時間を経過させた後通水して底泥の始動限界を観察する。

- 底泥の表層が剥れるように洗浄される限界時の掃流力は図-2a のごとく、堆積経過時間により若干変動するが $\tau_c/\rho = 3 \sim 5 \text{ cm}^2/\text{sec}^2$ とみられる。
- この限界掃流力は図-2b に示すごとく、河川漂砂と同様に扱えず、相対的に底泥は流れにくく。
- 洗浄後は直ちに浮遊泥となり掃流形式の移動はほとんど見られない。故に顕著な河床変動もない。
- Laursen による浮遊急増限界 $U_* w_g = 2$ と対比できない。すなわち底泥では $U_* w_g = 20 \sim 300$ となる。もちろん有機質の粘着性に関係すると考えられる。

3. 寝屋川の実測 直線区间 3 km の中ほどにある寝屋川大橋・放出大橋における 20 分毎の採水によって、浮遊泥の濃度を濁度計により求めた。実測は 3 回行なったがここでは第 3 回目の実測資料を整理対象とする。鉛直方向の濃度分布を図-3 に示す。また河川流の掃流力および水深方向に平均した濃度の時間変化を図-4 に示す。これらより底泥の運動限

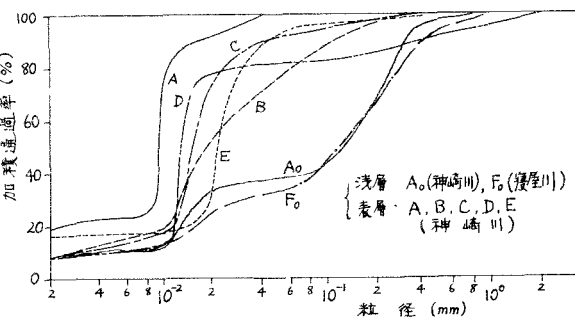


図-1 底泥の粒径加積曲線

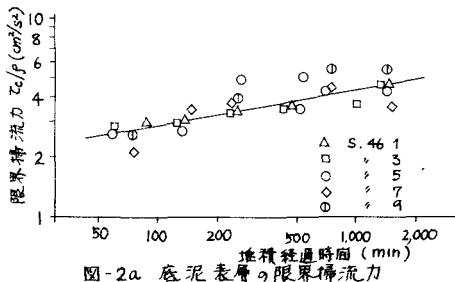


図-2a 底泥表層の限界掃流力

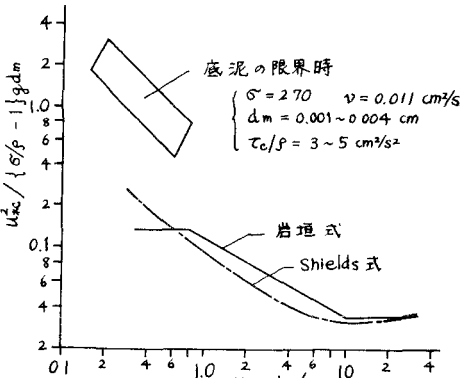


図-2b 底泥表層の限界掃流力

界が実験水路で求めた C_0/p と同程度であることが知れる。また濃度分布は水面である濃度を有し深さ方向に増加する形状となり、長方形部分とくさび型部分で構成される。仮に前者を wash load 的な濃度 C_1 、後者を浮流泥的な濃度 C_2 に分けられるものとし、 C_1 の平均 $\bar{C}_1 (= C_1)$ を図-4 に併記する。掻流力が高くなつた部分を除き、大体において \bar{C}_1 が一定であることから、流況に影響されない wash load が存在し、形式上 \bar{C}_1 がこれを代表すると想像される。

C_2 の濃度分布と浮流砂濃度分布の対比のため、Rouse 式 $c/c_a = \{a(h-z)/z(h-a)\}^2$, $Z = w_g/kU_*$, $a = h/10$ と比較したのが図-5 である。この整理には図-3 の濃度分布を移動平均によって若干の smoothing を施している。浮流泥は混合泥であり、また流れは非定常流であるが、分布形は Rouse 式と相似であると言える。この場合 Z は K, w_g が一定のとき h_z とは反比例の関係にあるが、実際には Z と h_z の傾向変化は図-6 に示すようでもしろ正の相関がある。カルマン定数は変化しないと考え、 Z, U_* からかけ算の沈降速度を求めると $w_g = 0.7 \sim 1.7 \text{ cm/sec}$ となり、これに対応する粒径は $d = 0.08 \sim 0.6 \text{ mm}$ であって図-1 の底泥表層部の粒径範囲と対応できる。すなわち底泥の表層部は wash load 的な材料となり得るものが多く、表層部は浮流泥の主体を構成していく掻流力の大小に敏感に反応して浮遊沈降の現象を示すのではないかと考えられる。

おわりに、この研究に際し適切な助言を頂いた室田明教授、ならびに実測に当たり種々の便宜を計つて頂いた大阪府都市河川課の関係各位に謝意を表す。また次第である。

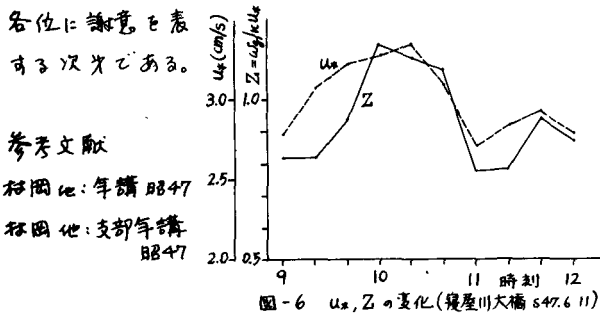


図-6 U_*, Z の変化(瀬戸川大橋 S.47.6.11)

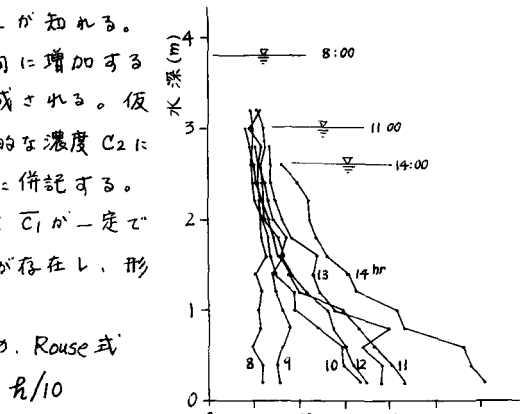


図-3 浮遊濃度分布(瀬戸川大橋 S.47.6.11)

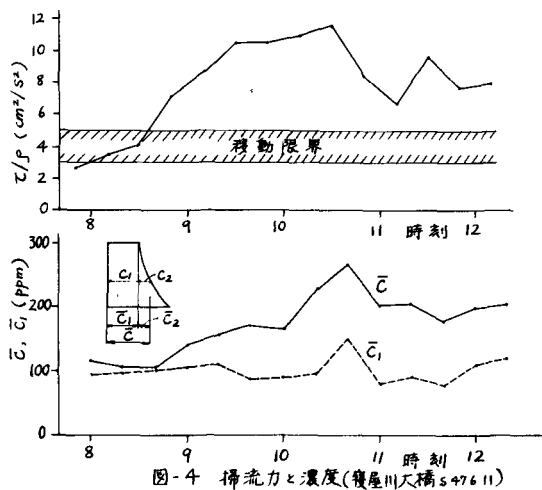


図-4 掴流力と濃度(瀬戸川大橋 S.47.6.11)

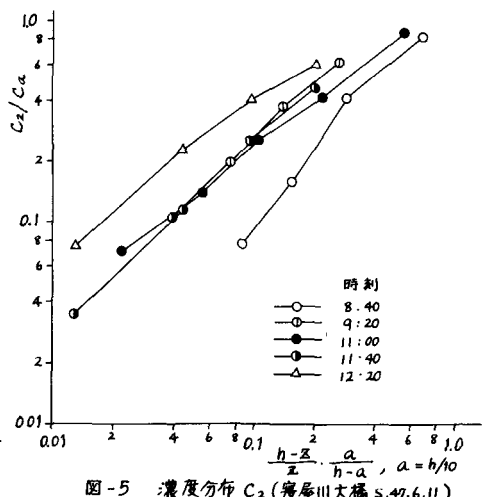


図-5 濃度分布 C_2 (瀬戸川大橋 S.47.6.11)